

# 正誤情報

このたびは森北出版株式会社発行の書籍をお買い求めいただき、誠にありがとうございました。下記の書籍につきまして誤りのある箇所がございましたので、お詫びし訂正させていただきます。

2021年6月4日 森北出版株式会社 生産マネジメント部

## タイトル

# 入門モーター工学

## 正誤対象

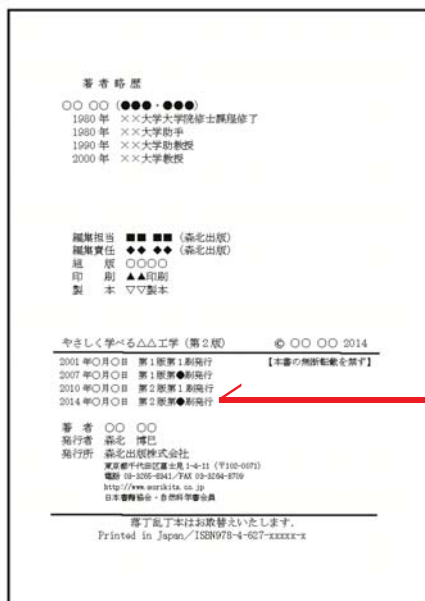
お手持ちの書籍の刷数をお調べのうえ、下の表をご覧ください。正誤表内の一番左に「対応刷数」という列がございます。該当する刷数の訂正情報をご参照下さい。

なお、刷数につきましては下記「刷数の調べ方」をご参照ください。

お持ちの本の刷数				
1	対応刷数	1	より	4 までをご参照ください
2	対応刷数	2	より	4 までをご参照ください
3	対応刷数	3	より	4 までをご参照ください
4	対応刷数	4	を	ご参照ください
それ以降	現在把握している訂正情報はございません			

## 刷数の調べ方

本の一番後ろのページ(広告等除く)に下図のようなページがございます。ご参照いただき、お持ちの本の刷数をお調べください。



日付の最も新しい行に記載された数字がお持ちの本の刷数となります

対応刷数	頁	行数, 図・表・式番号	誤	正
3	11	7行目	$F = F_c + F_m = \frac{1}{\mu_s} BIl + \left(1 - \frac{1}{\mu_s}\right) BIl = BIl$	$F = F_c + F_m = \frac{1}{\mu_s} BIl + \left(1 - \frac{1}{\mu_s}\right) BIl$
3	11	8行目	…ところは, 鉄の…	…ところは, <u>電磁力は透磁率の比率で分担しており</u> , 鉄の…
1	15	図 2.11 (a)		
4	30	8行目	…する. <u>永久磁石</u> を…	…する. <u>磁性体</u> を…
1	36	図 3.7		

1	36	図 3.8	<p>この傾きがパーミアンス係数を表す</p> <p>この傾きがリコイル透磁率を表す</p>	<p>この傾きがパーミアンス係数を表す</p> <p>この傾きがリコイル透磁率を表す</p>
1	37	13, 18, 21 行目	$P_c$ (3箇所)	$P_c$
1	37	20 行目	$P_c = -\frac{H_d}{B_d}$	$P_c = -\frac{B_d}{H_d}$
1	37	22 行目	$P_c = \frac{1-N_d}{N_d}$	$P_c = \frac{1-N_d}{N_d}$
1	39	図 3.11		
4	39	図 3.12	右のように修正	<p>(a) ラジアル異方性 (b) パラレル異方性</p>
1	41	3 行目	界がある。ネオジム磁石に…	界がある。また、ネオジム磁石に…
1	48	9 行目	また接着もよく用いられる。…	また図 2.11 (a) に示すように鉄心への接着もよく用いられる。…
1	68	下から 4 行目	切断面との絶縁がどうしても必要である。	切断面との絶縁が必要である。鉄心の切断面に酸化皮膜が必要である。

2	72	表 4.3 最下段	<table border="1"> <tr> <td>パーメンジュール (Fe-Co)</td> <td>2.4</td> <td>1,200</td> <td>0.26</td> <td>980</td> <td>150</td> </tr> </table>	パーメンジュール (Fe-Co)	2.4	1,200	0.26	980	150	26
パーメンジュール (Fe-Co)	2.4	1,200	0.26	980	150					
1	77	7行目	(1) 絶縁の厚さが薄く均一であること	(1) 絶縁皮膜の厚さが薄く均一であること						
2	79	5.2.2 2~3行目	…-ポリアミド線), AIW (アミドイミド線)などは…	…-ポリアミド線)は…						
4	83	図 5.8	(縦軸の数値) 5.0	0.5						
1	89	2~3行目	エナメル線の被膜の厚さは0種から3種までの種類で示される。0種がもっとも厚く、3種が最も薄いものを示す。	エナメル線の被膜の厚さは0種から2種までの3種類で示される。0種がもっとも厚く、2種が最も薄いものを示す。						
2	90	5.5 8行目	…周囲温度が機械の…	…周囲温度は機械の…						
2	96	表 6.1 「材料の例」 3行目	各種 (第 6 章参照)	各種 (第 5 章参照)						
2	105	10行目	…の形に成形する必要がある。成形に際しては…	…の形に整形する必要がある。整形に際しては…						
2	108	6.5.1 1行目	…次の五つに…	…次の四つに…						
1	115	図 7.1								
2	116	1~2行目	…スロット数または電気角に…	…スロット数に…						
2	116	3行目	…または電気角…	…または機械角…						
4	116	6行目	この図では極ピッチ, スロットピッチはともに…	この図では極ピッチ, コイルピッチはともに…						

1	119	図 7.6 (b) (c)	<p>(b) 4極                      (c) 8極</p>	<p>(b) 4極                      (c) 8極</p>
1	122	図 7.12 (b)	<p>の極になるの極になる        図(c)をの極になる        同じもの        8スロットには <math>V_1</math> の        導体が2本入る        他の極の導体が        さらに入る</p>	<p>図(c)と同じもの        の極になるの極になる        8スロットには <math>V_1</math> の        導体が2本入る        他の極の導体が        さらに入る</p>
4	125	下から 4行目	…は $q = 3/8$ の…	…は $q = 1/4$ の…
1	127	図 7.16 (a)	<p>電流軸から  <math>90^\circ</math> 離れて        磁極ができる        電流軸        内側から見ると        ここがS極の        中心        磁極軸        内側から見ると        ここがN極の        中心</p>	<p>電流軸から  <math>90^\circ</math> 離れて        磁極ができる        電流軸        内側から見ると        ここがS極の        中心        磁極軸        内側から見ると        ここがN極の        中心</p>

1	133	図 7.26 (a)	<p>外径 0.8 φ の巻線が 20 本 0.1 mm 厚さの絶縁フィルム 6 mm 層間絶縁 0.1 mm T 3 mm</p>	<p>外径 0.8 φ の巻線が 20 本 0.1 mm 厚さの絶縁フィルム 6 mm 層間絶縁 0.1 mm 3 mm</p>
1	134	11 行目	... = 15.98 mm <sup>2</sup>	... = 15.96 mm <sup>2</sup>
1	134	18 行目	... = 10.48 mm <sup>2</sup>	... = 10.05 mm <sup>2</sup>
1	135	1 行目	... = $\frac{12.8}{15.98} = 80.1 \%$	... = $\frac{12.8}{15.96} = 80.2 \%$
1	135	2 行目	... = $\frac{10.48}{18} = 58 \%$	... = $\frac{10.05}{18} = 55.8 \%$
3	189	最下行	$\dots = \begin{bmatrix} R_{s+p}L_s & -\omega_s L_s & pM & -\omega_p M \\ \omega_s L_s & R_s + pL_s & \omega_s M & pM \\ pM & -(\omega_s - \omega_r)M & R_r + pL_r & -(\omega_s - \omega_r)L_s \\ (\omega_s - \omega_r)M & pM & (\omega_s - \omega_r)L_r & R_r + pL_r \end{bmatrix} \dots$	$\dots = \begin{bmatrix} R_{s+p}L_s & -\omega_s L_s & pM & -\omega_s M \\ \omega_s L_s & R_s + pL_s & \omega_s M & pM \\ pM & -(\omega_s - \omega_r)M & R_r + pL_r & -(\omega_s - \omega_r)L_s \\ (\omega_s - \omega_r)M & pM & (\omega_s - \omega_r)L_r & R_r + pL_r \end{bmatrix} \dots$